

FIG. 1

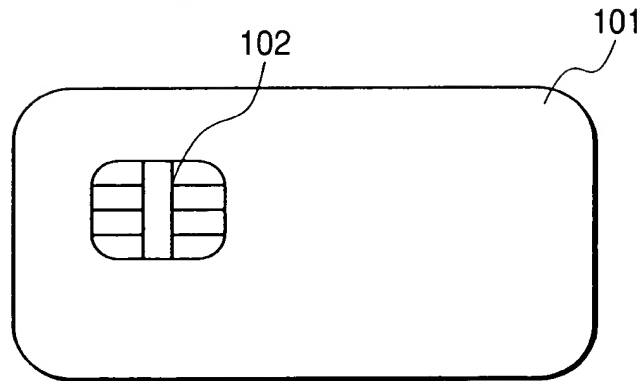


FIG. 2

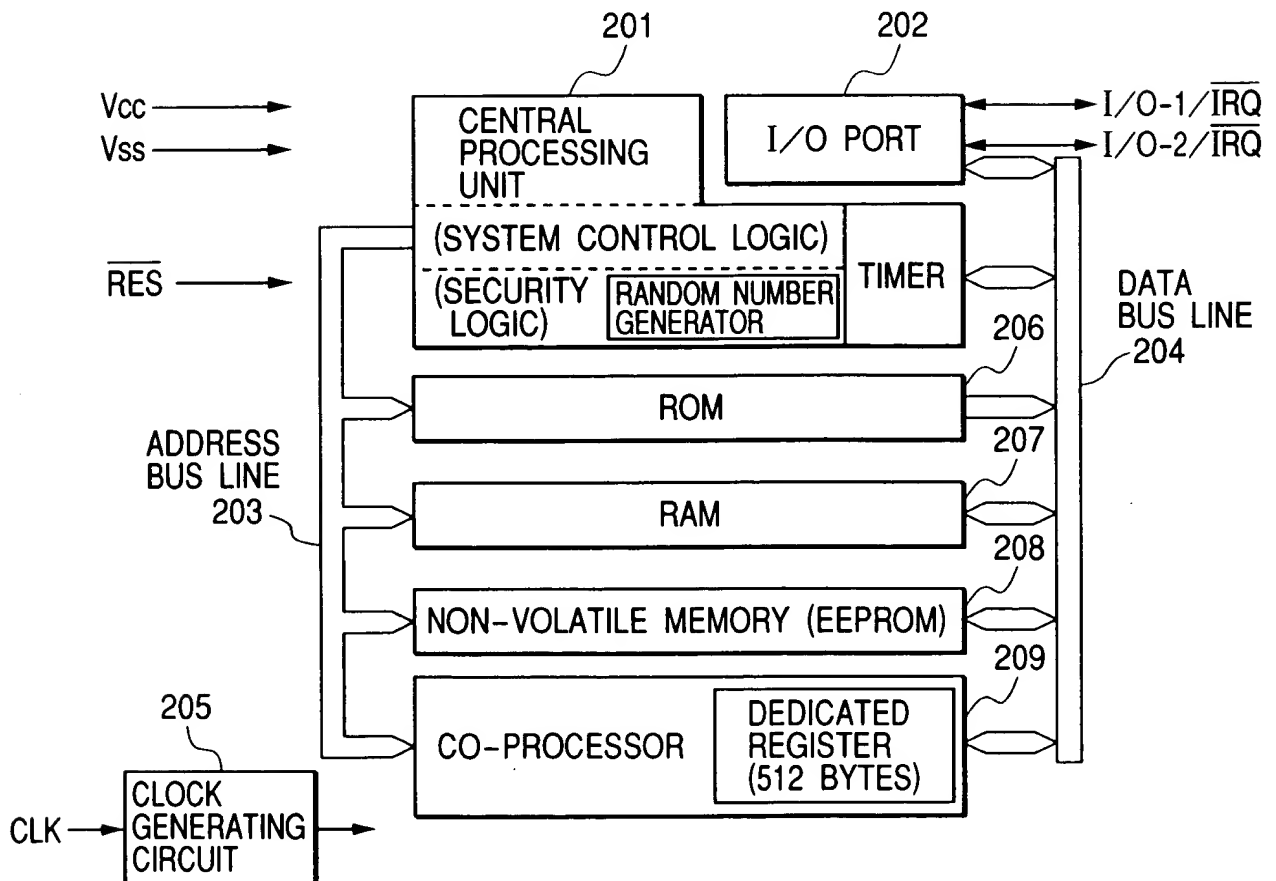


FIG. 3(a)

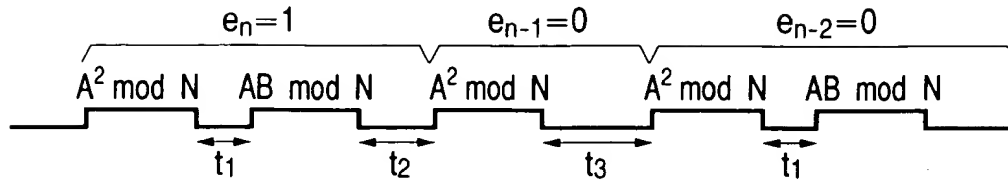


FIG. 3(b)

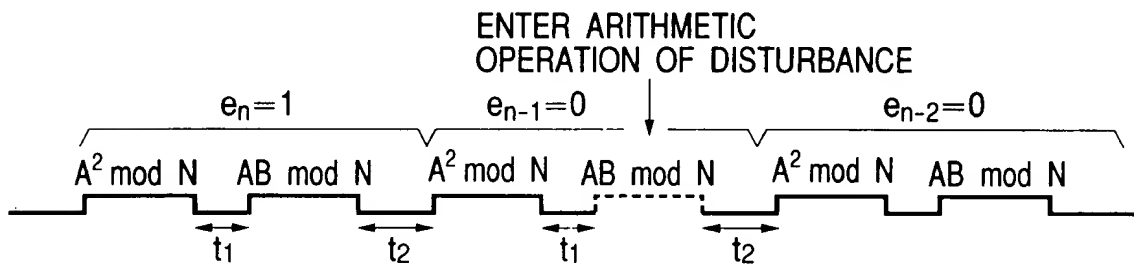


FIG. 4

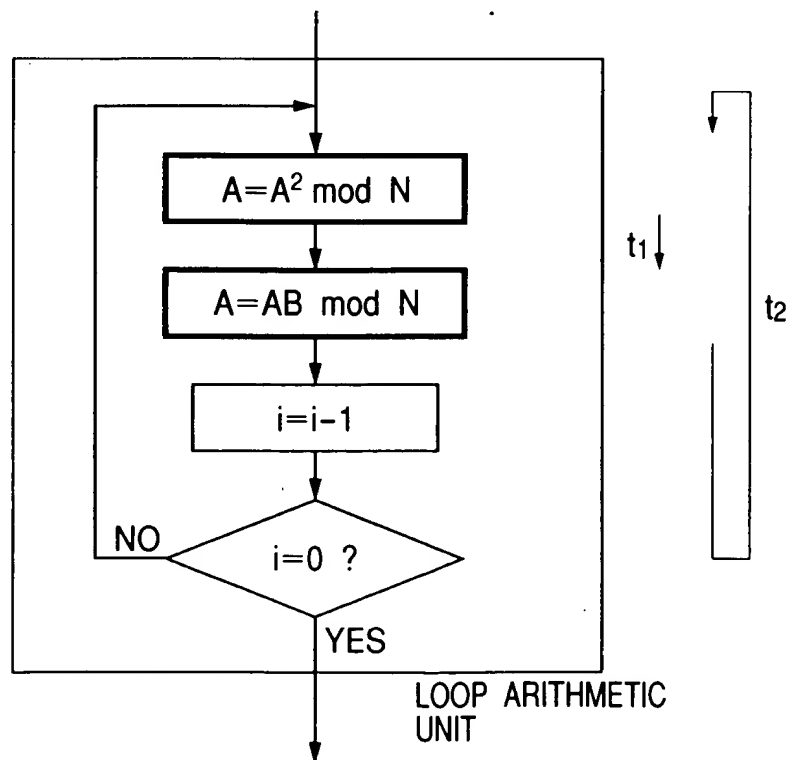


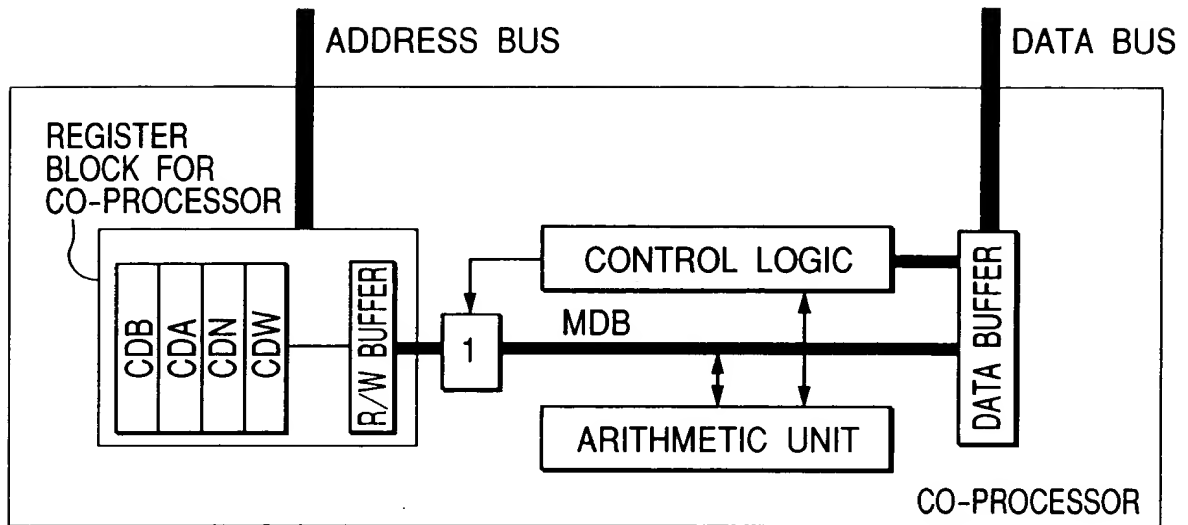
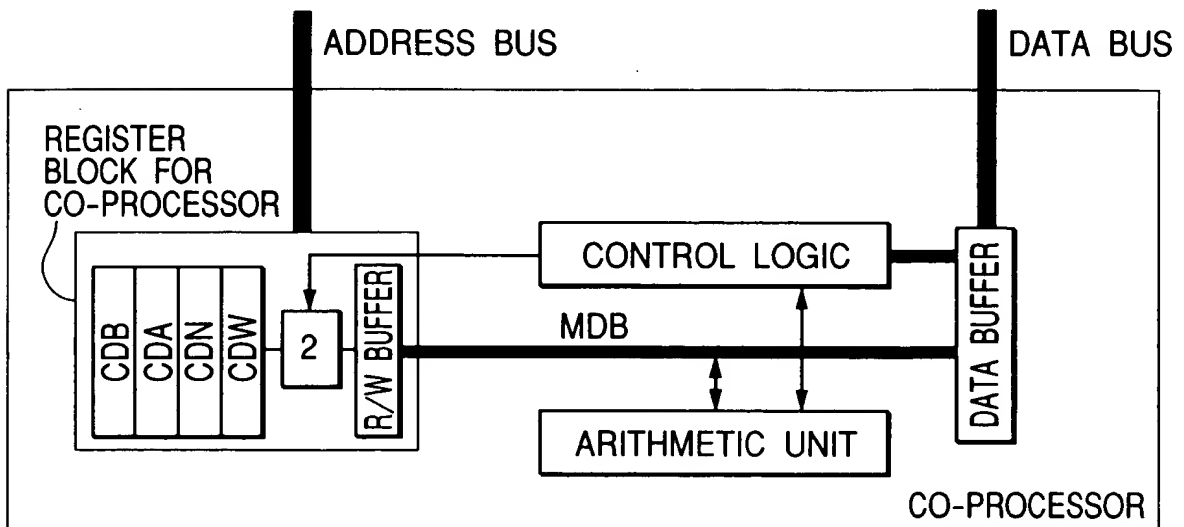
FIG. 5*FIG. 6*

FIG. 7

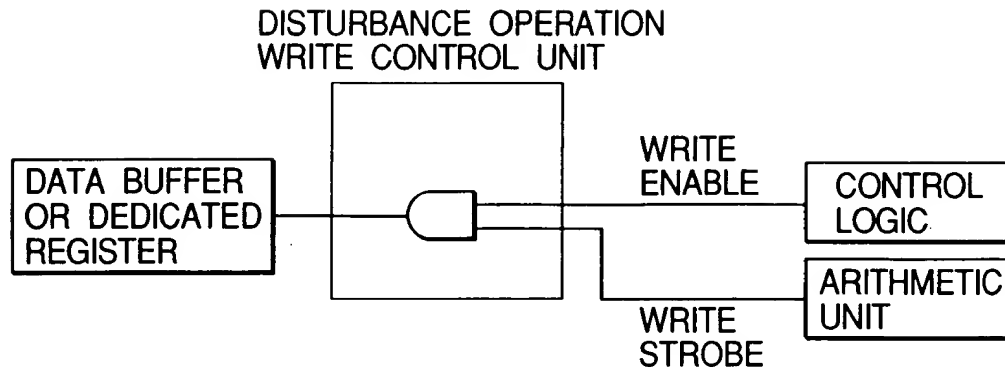


FIG. 8

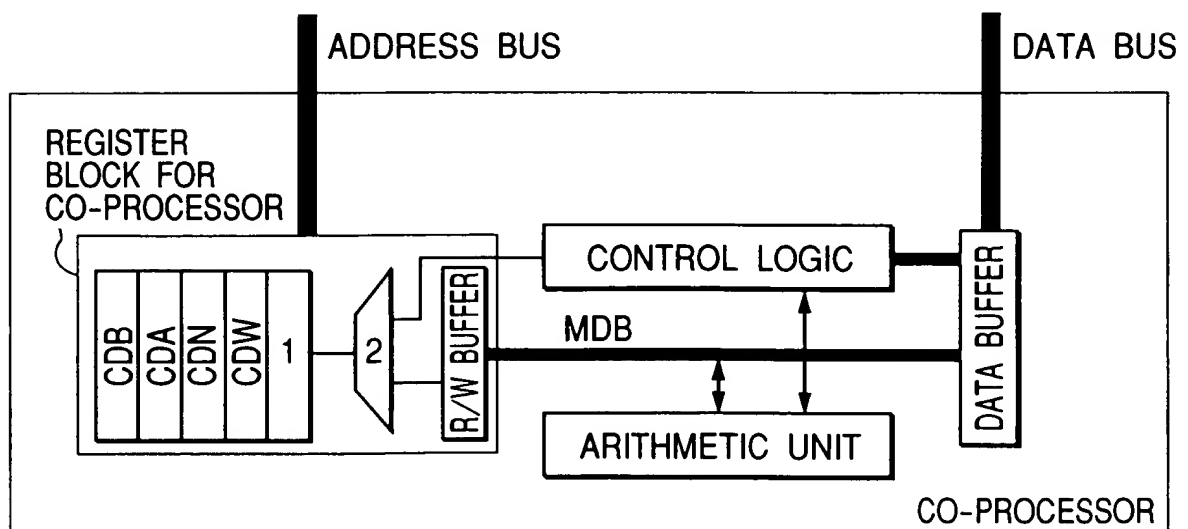


FIG. 9(a)

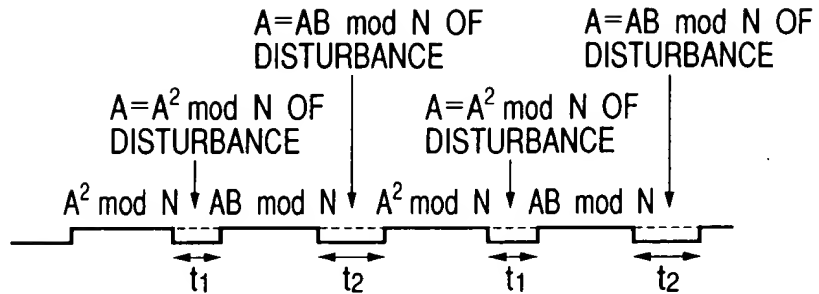


FIG. 9(b)

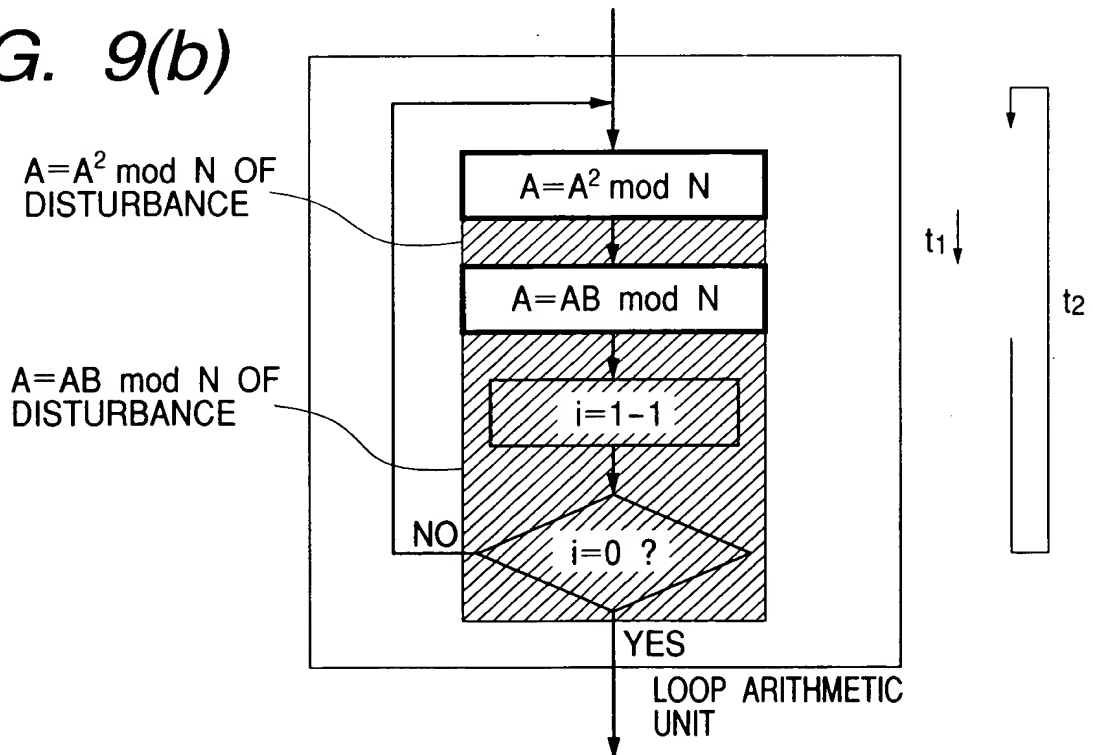


FIG. 10

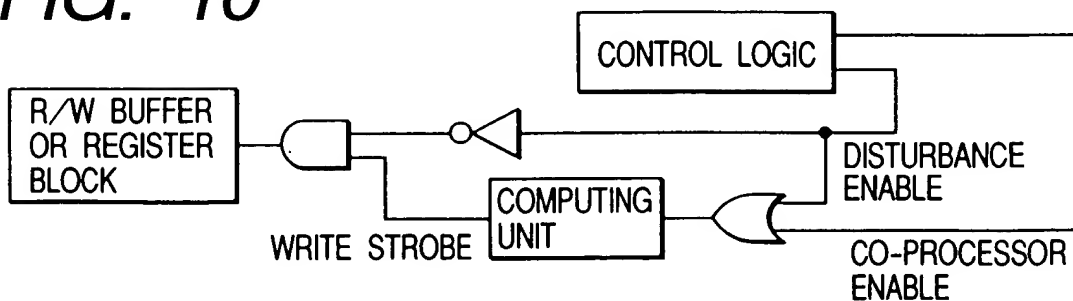


FIG. 11(a)

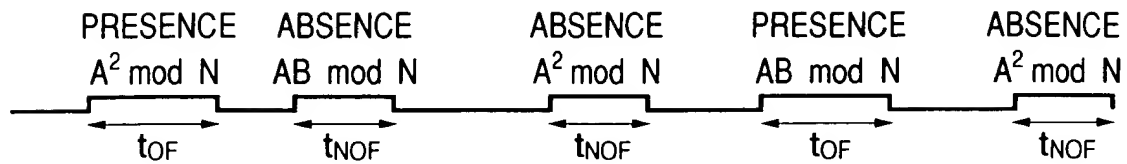


FIG. 11(b)

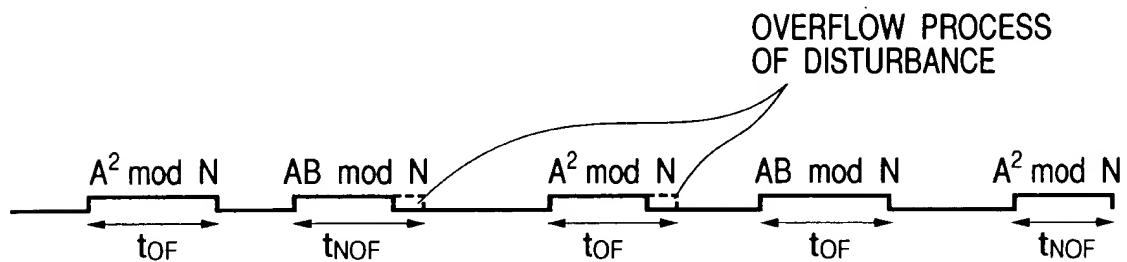


FIG. 12

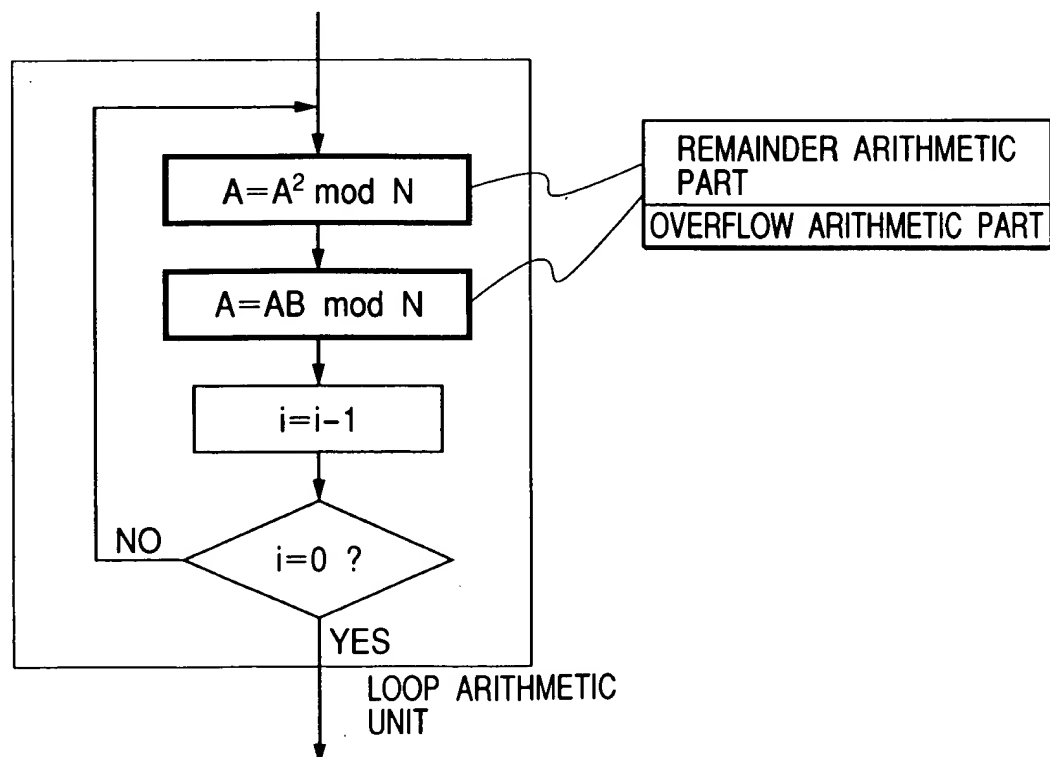


FIG. 13(a)

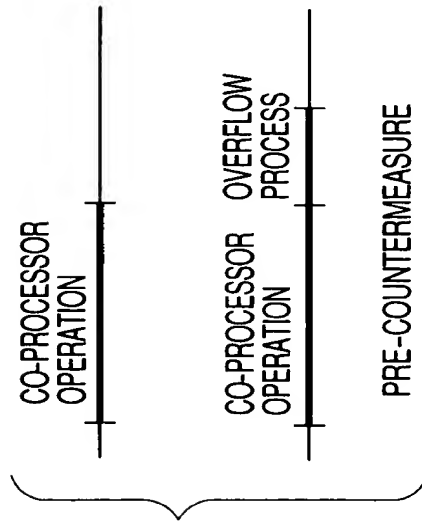


FIG. 13(b)

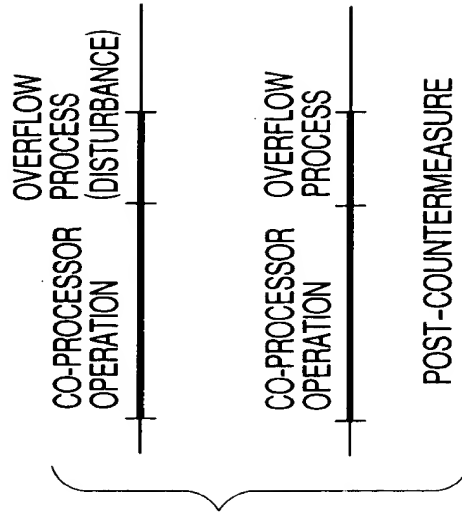


FIG. 14

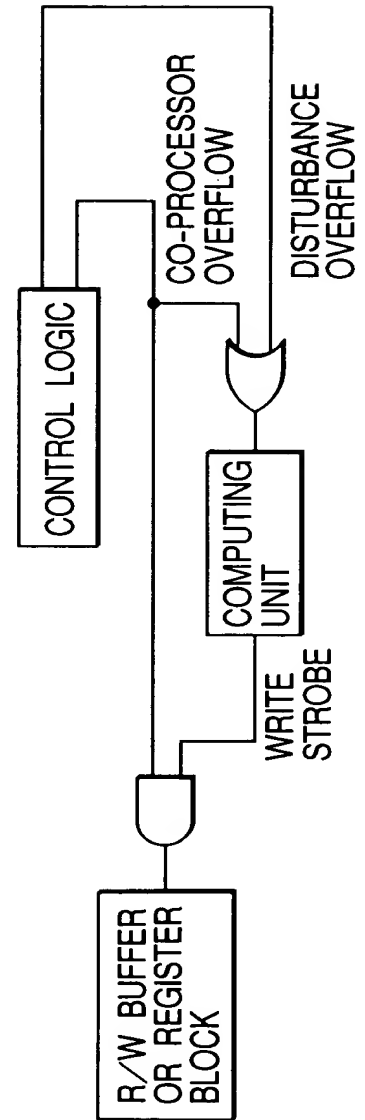


FIG. 15(a)

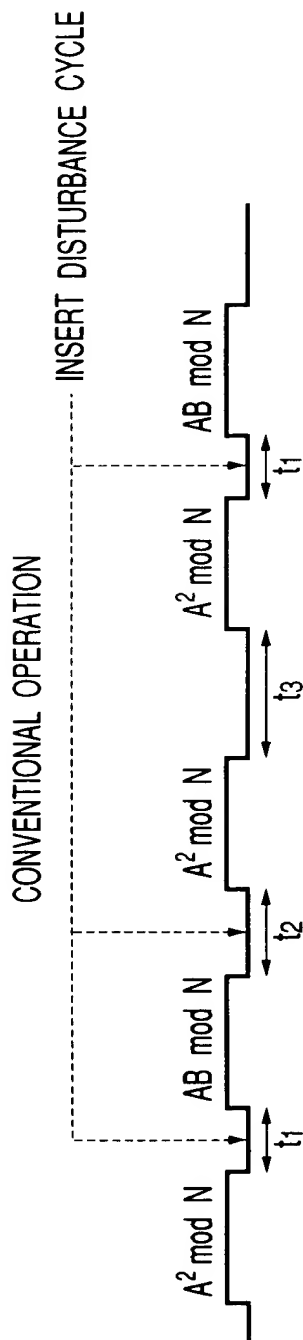


FIG. 15(b)

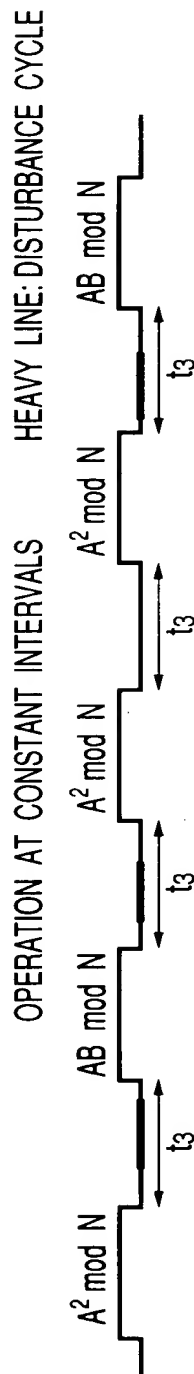


FIG. 15(c)

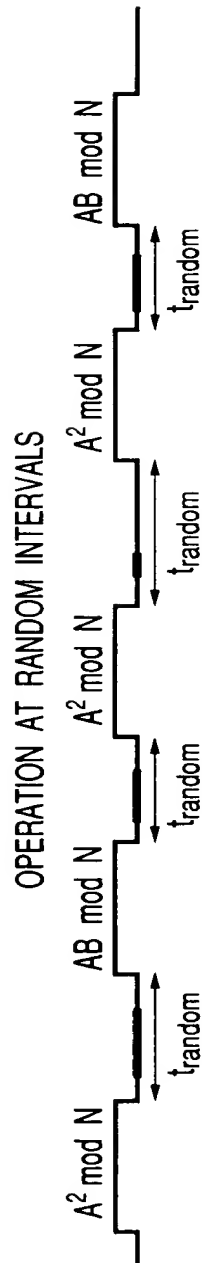


FIG. 16

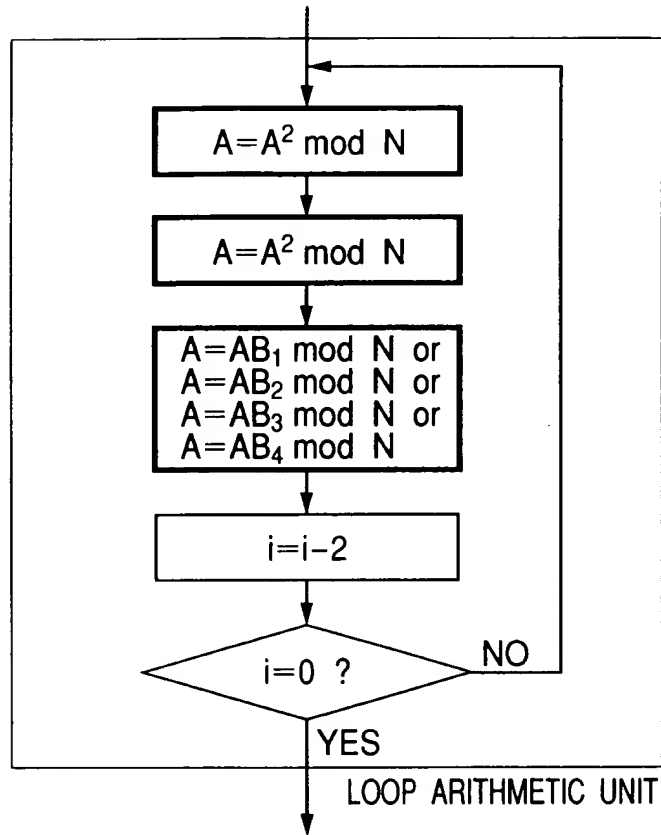


FIG. 17

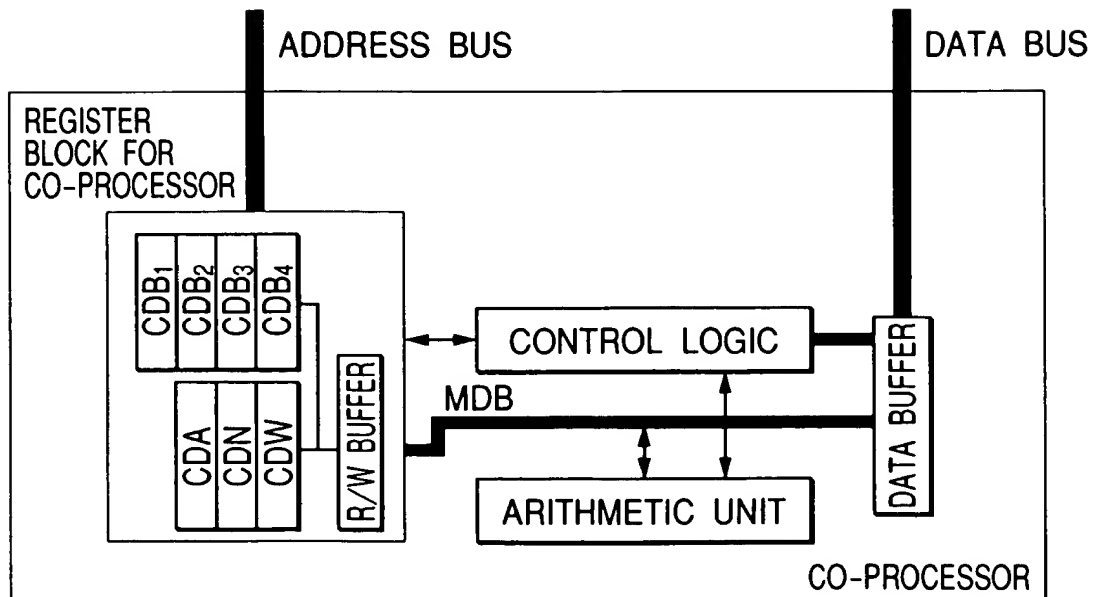


FIG. 18

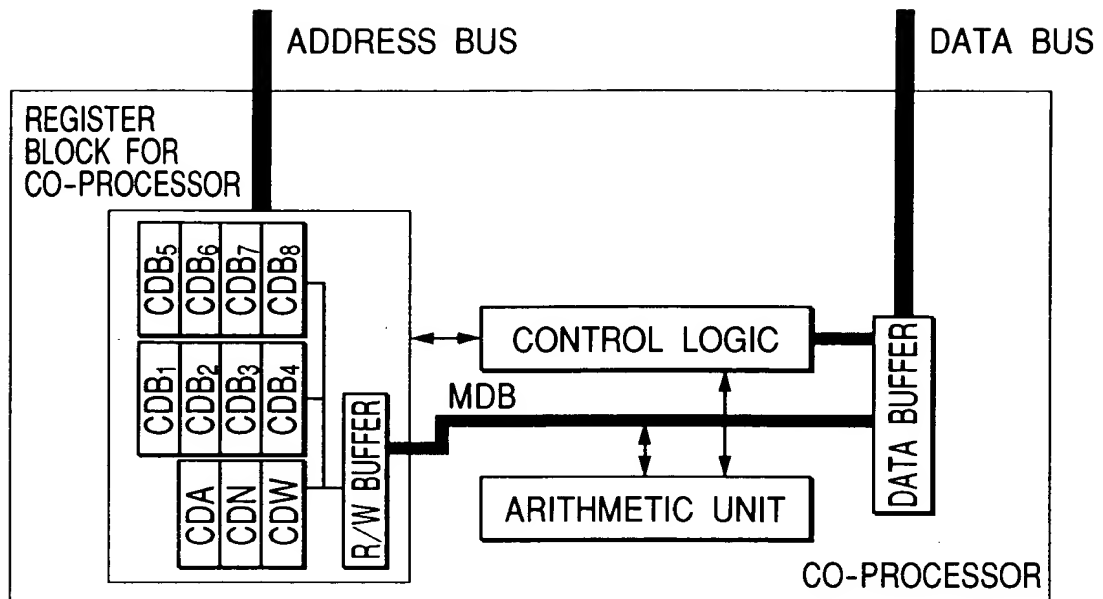


FIG. 19

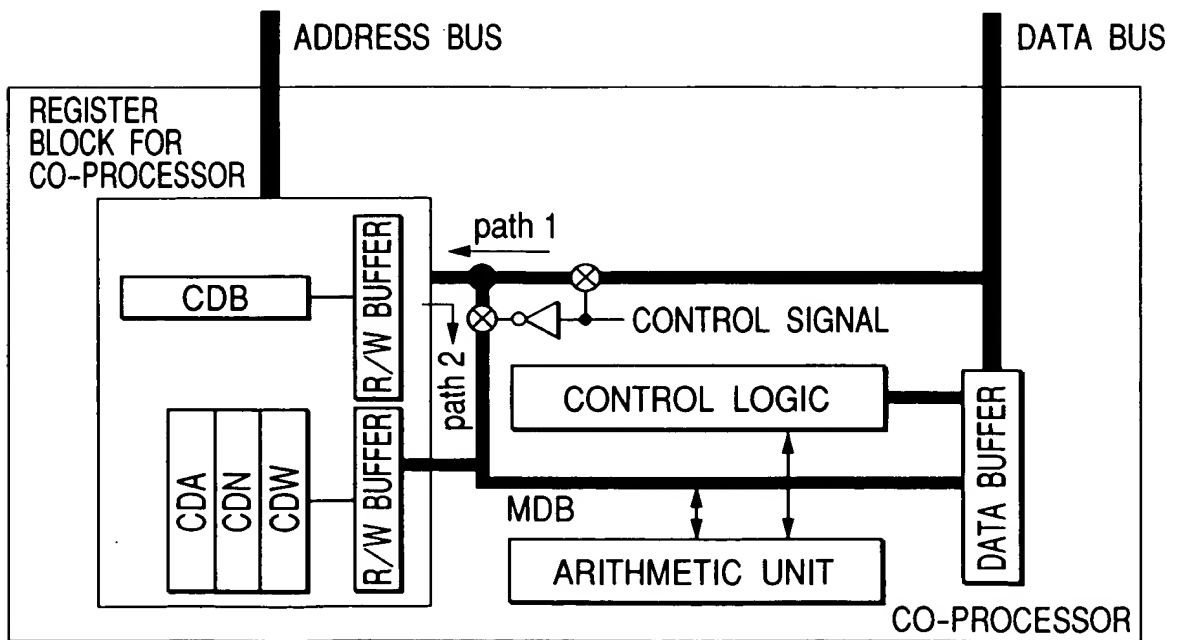


FIG. 20

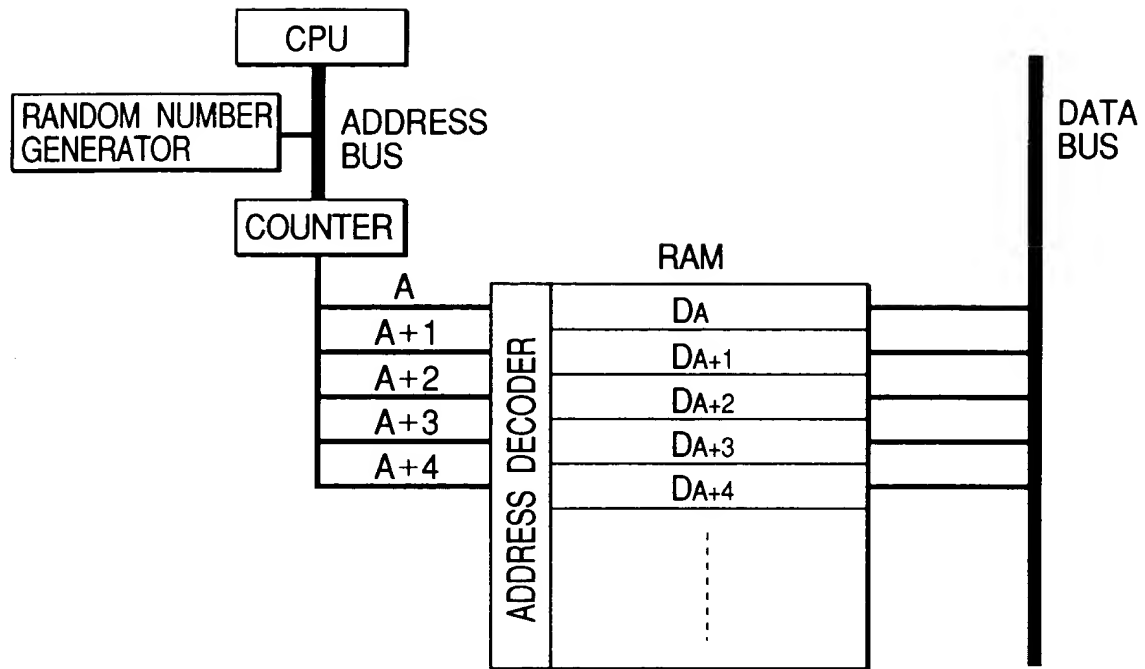


FIG. 21

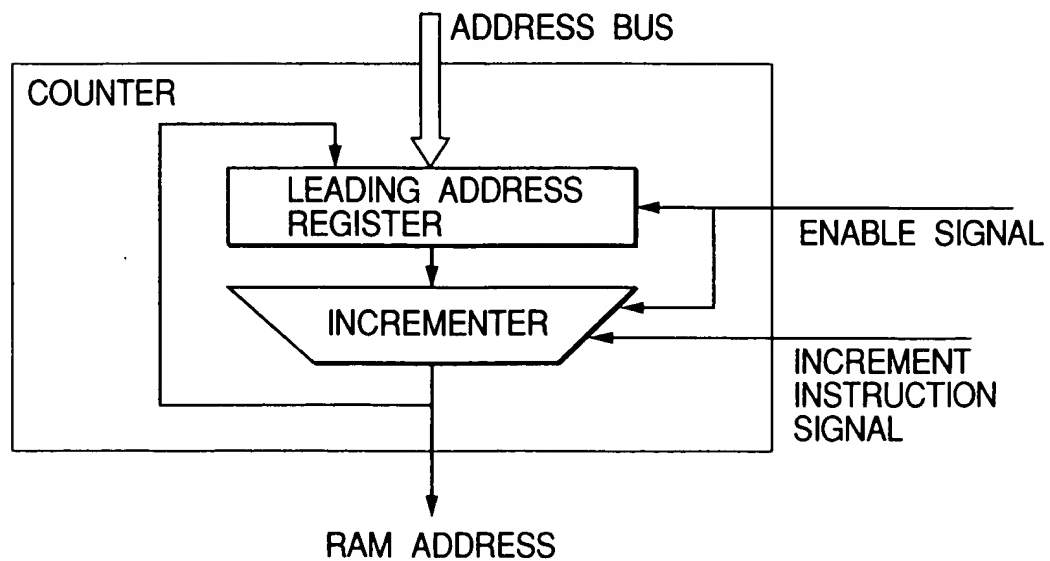


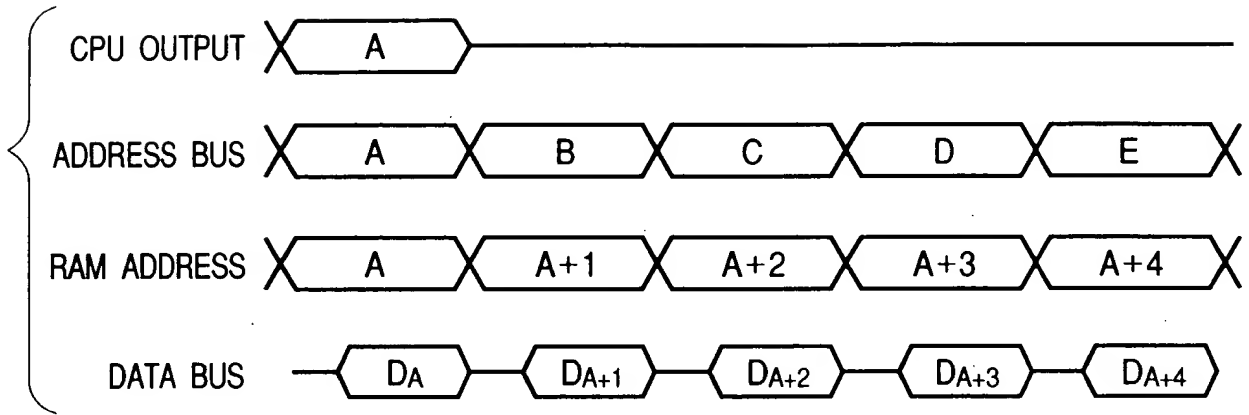
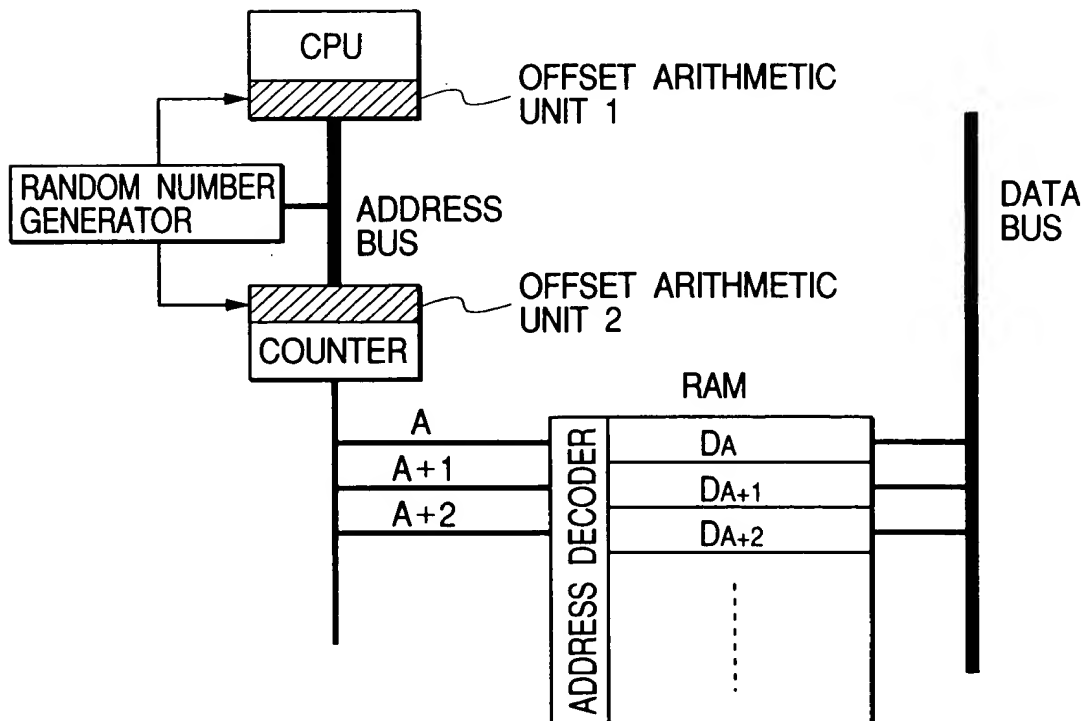
FIG. 22*FIG. 23*

FIG. 24

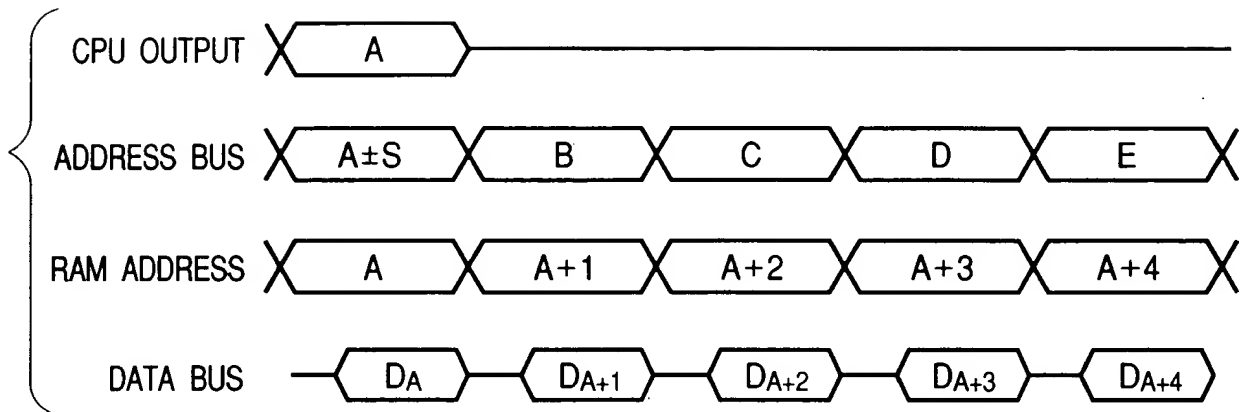


FIG. 26

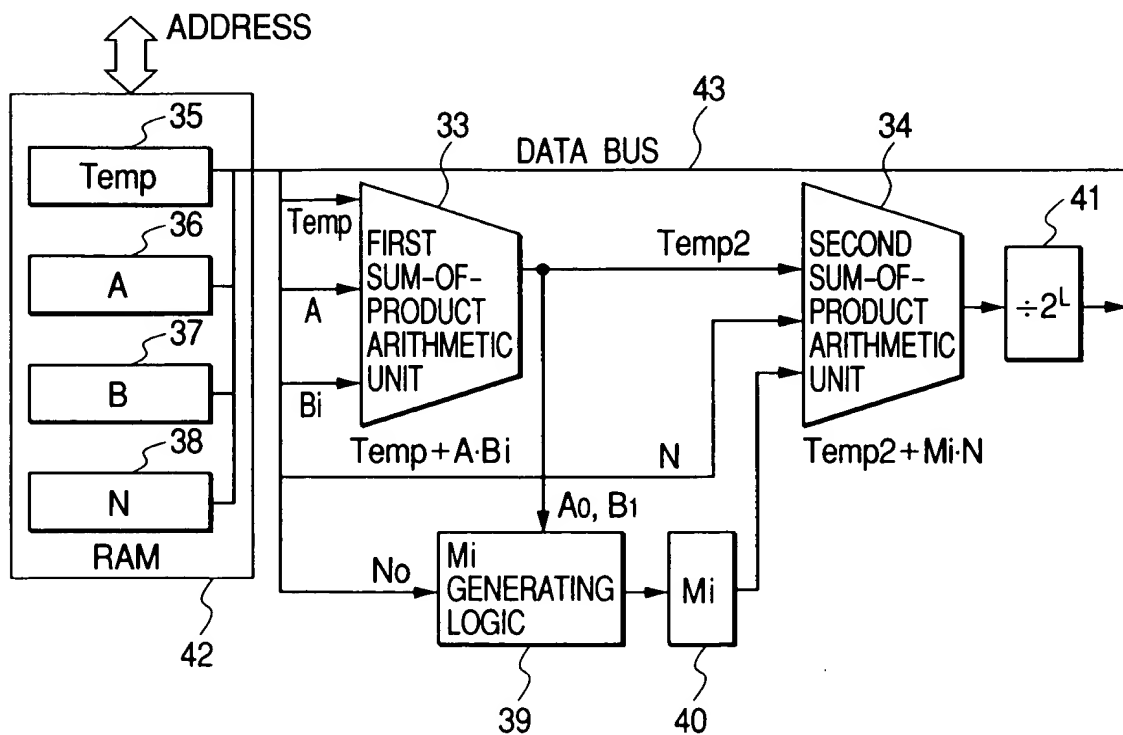


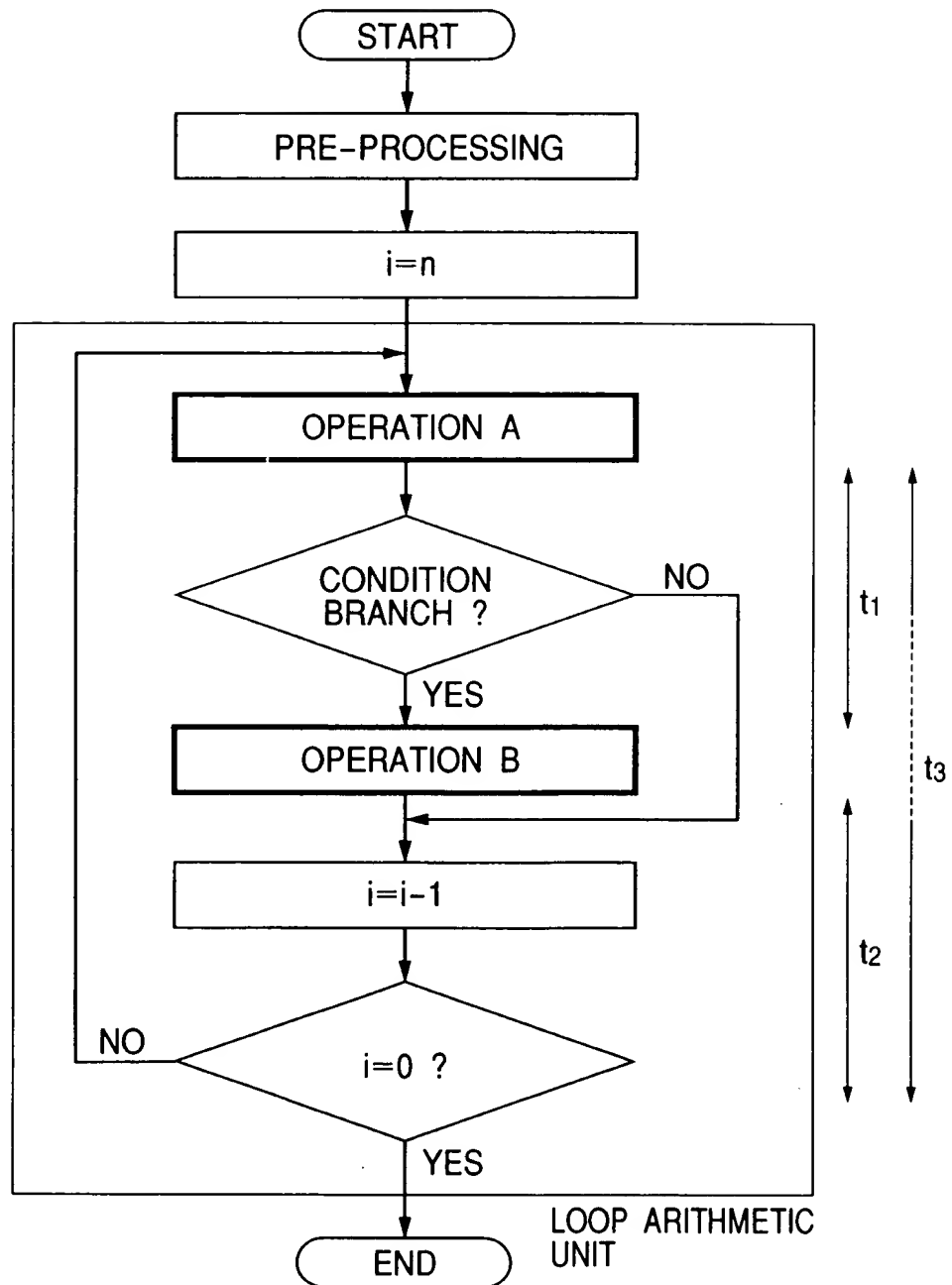
FIG. 25

FIG. 27

COMPUTATIONAL CONCEPTUAL
DIAGRAM OF $R^2 \bmod N$

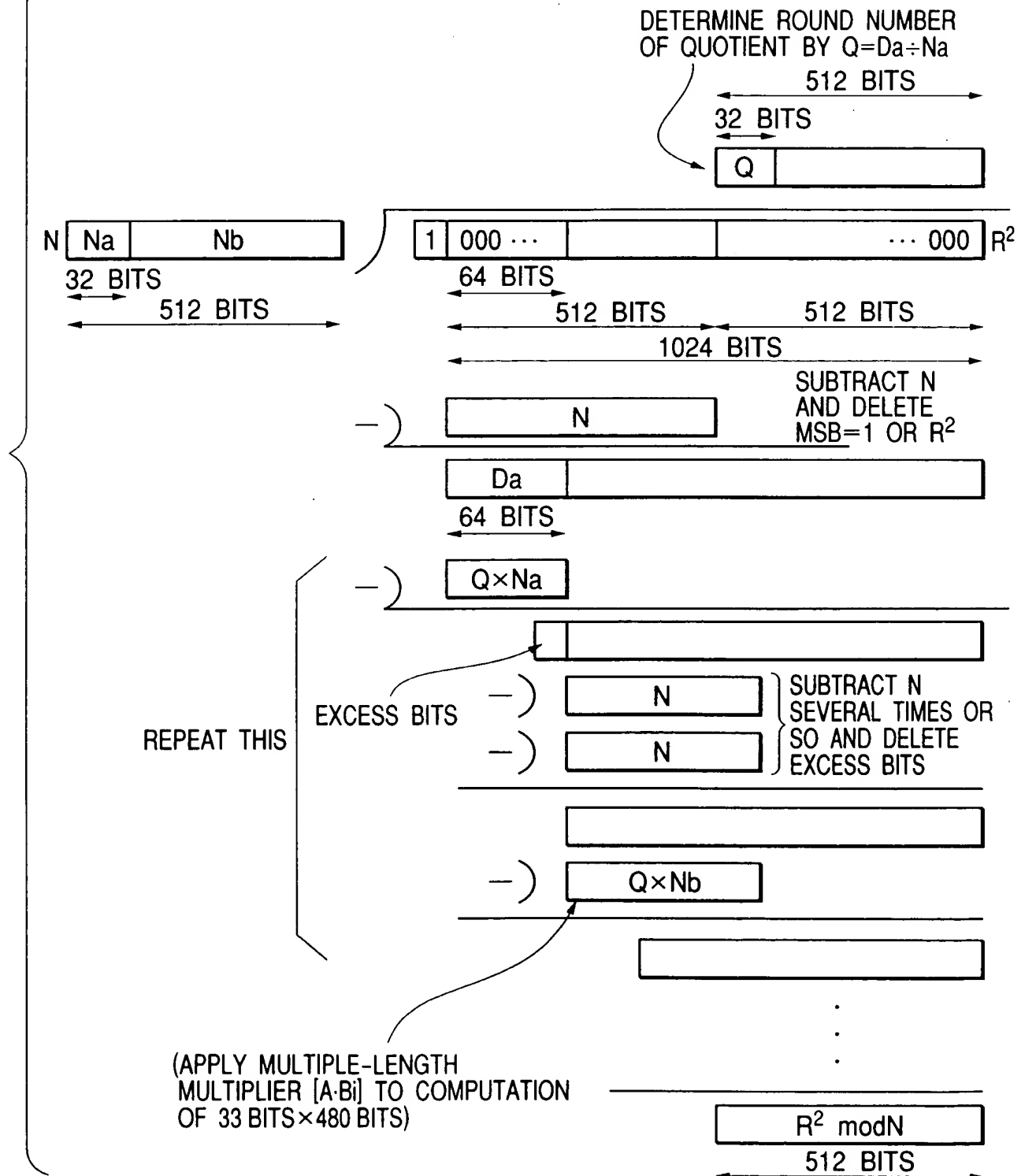


FIG. 28

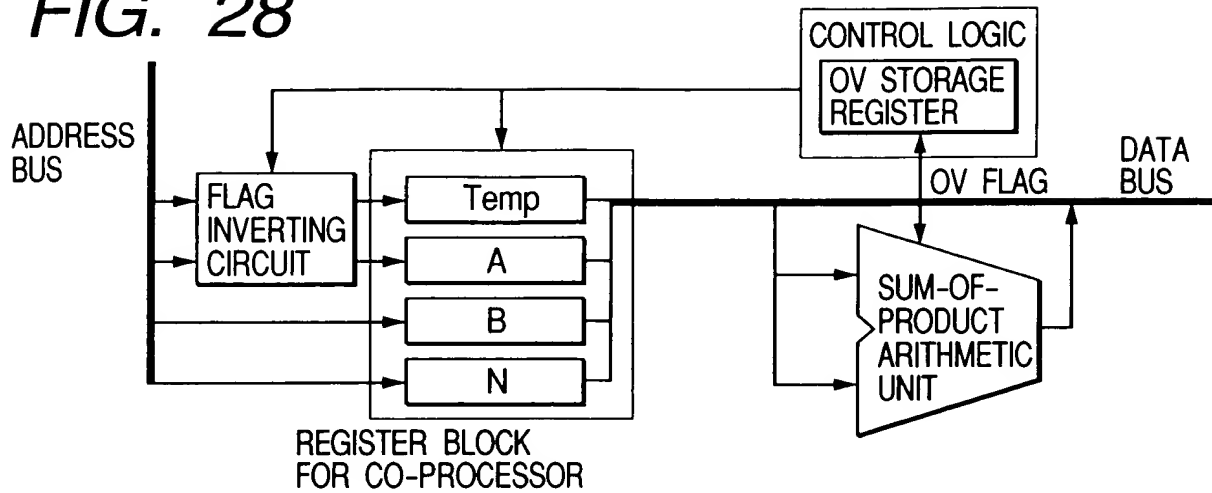


FIG. 29

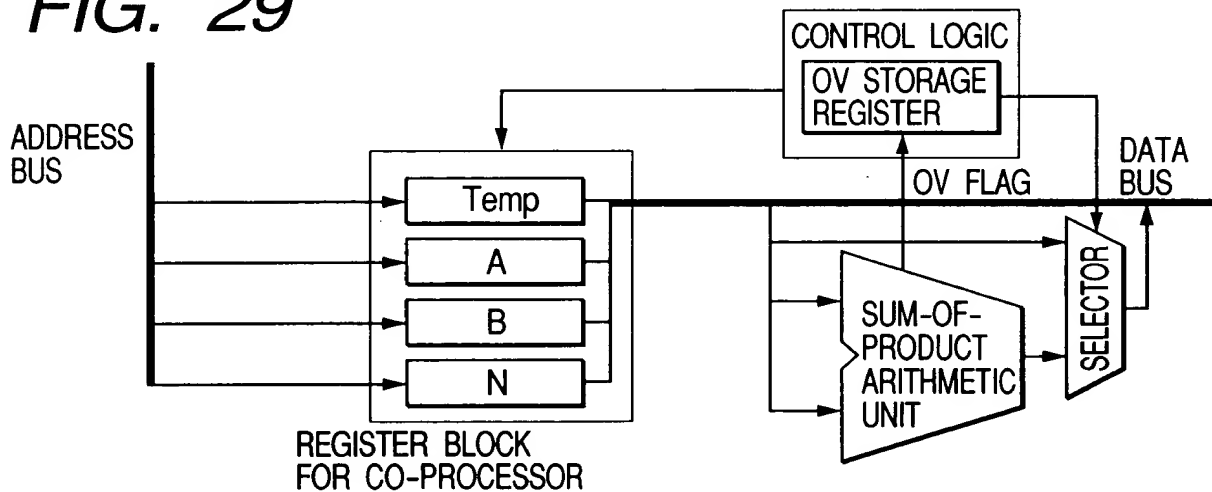


FIG. 30

